

کاهش غلظت اکسیژن اتمی با تزریق ترکیب He/NO_2 در لیزرهای ید- اکسیژن الکتریکی

جبار صیدی^{۱*}، منصور عسکری^۲، جواد خلیل زاده^۲

^۱دانشگاه آزاد اسلامی واحد تهران - شرق، باشگاه پژوهشگران جوان

^۲دانشگاه جامع امام حسین (ع)، دانشکده و پژوهشکده علوم پایه، مرکز تحقیقات فیزیک

چکیده

در این تحقیق با استفاده از نرم افزار فلوئنت عملکرد ترکیبی از گونه های ایجاد شده در ناحیه تخلیه الکتریکی یک لیزر اکسیژن-یداین الکتریکی با افزودن NO_2 شبیه سازی شده است. واکنشهای ممکن در ناحیه پس از تخلیه مورد بررسی قرار گرفته و تاثیر ترکیب He/NO_2 بر حفظ ملکول اکسیژن یکتاوی (O_2^+) حاصل از واکنش، از طریق حذف اکسیژن اتمی تا رسیدن به ناحیه محیط فعال لیزر مورد ارزیابی قرار گرفته است. غلظت و نرخ شارش بهینه ترکیب افزوده شده برای شرایط خاصی مورد بررسی قرار گرفته است. محاسبات، با تغییر سرعت تزریق He/NO_2 برای حالتی که شارش NO_2 و He به ترتیب $0/25$ و $2/1$ میلی مول بر ثانیه در نظر گرفته شده بود، مقدار بهینه حدود $0/7 \text{ m/s}$ را به دست داد.

واژه های کلیدی: مولکول اکسیژن یکتا(برانگیخته)، اکسیژن اتمی، وارونی جمعیت، لیزر ید- اکسیژن تخلیه الکتریکی، کد فلوئنت

Decrease of Atomic Oxygen Concentration by Injection of He/NO_2 Combination in Discharge Oxygen Iodine Lasers

J. Saydi^{1*}, M. Askari², J. Khalilzadeh²

¹Young Research Club, Islamic Azad University of East Branch

²Physics Research center, Imam Hossein University

Abstract

In this research, the effect of He/NO_2 injection to the post-discharge region of a electric discharge oxygen iodine-laser was studied by using three-dimensional (3D) fluent code. Probable chemical reactions resulted from the presence of He/NO_2 in post-discharge region were studied. Effect of He/NO_2 combination on keeping the singlet oxygen molecule and depleting atomic oxygen along post-discharge region just before activation region of laser is evaluated. Optimum concentration and flow rate has investigated at special conditions. By changing the injection rate of He/NO_2 , in the case of 0.25 mmol/s and 2.1 mmol/s rates for NO_2 and He , optimum value of injection, about 0.7 m/s , has been obtained.

Keywords: Singlet Oxygen Molecules, Atomic Oxygen, Population Inversion, Electric Discharge Oxygen Iodine Laser, Fluent Code.

* Corresponding author E-mail: J_S1318@yahoo.com

Passive Defence Sci. & Technol. 2011, 3, 43-50

فرکانس رادیویی (rf) روی مخلوط O_2/He با فشار پایین در حدود ۳/۷ تور در ناحیه تخلیه توان لیزر موج پیوسته (تا ۱/۵ واحد) به دست آمده است [7]. یک تفاوت کلیدی بین روش برانگیختگی شیمیایی متداول و الکتریکی حضور اکسیژن اتمی هم مرتبه با مولکول اکسیژن برانگیخته در روش الکتریکی وجود دارد. اکسیژن اتمی، تراز بالای لیزری ($I(^2P_{1/2})$) را از بین می برد، پس باید کنترل شود. این عمل با استفاده از تیتراسیون NO_2 در پایین دست ناحیه تخلیه الکتریکی انجام می شود که منجر به حذف اکسیژن اتمی به مقداری می شود که هنوز مقدار کافی اکسیژن اتمی برای جداسازی مولکول ید به ید اتمی وجود داشته باشد. مقدار اکسیژن اتمی باید به اندازه کافی کم باشد. به طوری که اتلاف توان این نوع لیزر از طریق فرونشانی ید برانگیخته $(I(^2P_{3/2}) + O \rightarrow I(^2P_{1/2}) + O)$ به طور جدی زیان آور نباشد [8]. افزایش توان لیزر با حفظ هر چه بیشتر بهره مولکول اکسیژن یکتا ($O_2(^1\Delta)$) در طول محیط فعال، امکان پذیر می باشد. همچنان که اخیراً در نوعی از این لیزرها بهره ۱۵ تا ۲۰ درصدی به دست آمده است [9]. این کار در مورد لیزری با تخلیه الکتریکی عرضی دارای فرکانس امواج رادیویی ۸۱ مگا هرتز، فشار اکسیژن ۲۰-۱۰ تور در ناحیه تخلیه، حذف اتم های اکسیژن در ناحیه پلاسمما (محفظه تخلیه) و ناحیه پس از تخلیه الکتریکی با استفاده از ایجاد پوشش HgO در دیواره محفظه و خنک کردن کاواک تخلیه انجام شده است. نشان داده شده که افزایش کسر مولی اکسیژن اتمی، به حذف اکسیژن یکتا از طریق چندین فرآیند فرونشانی، منجر می شود. به عنوان مثال، یکی از این فرآیندهای فرونشانی به صورت زیر می باشد:



که در آن، M گونه سومی است که بسته به ترکیبات ناحیه تخلیه می تواند Ar , He و یا خود O_2 باشد [10] و [11]. علاوه بر حذف مستقیم مولکول های اکسیژن یکتا ($O_2(^1\Delta)$) به وسیله اتم های اکسیژن (O) در پلاسمما (ناحیه تخلیه الکتریکی) و ناحیه پس از تخلیه، مکانیزم های مؤثر دیگری در از دست دادن اکسیژن مولکولی برانگیخته ($O_2(^1\Delta)$) وجود دارد که این مکانیزم ها با اکسیژن اتمی (O) و اتم های ید گازی در ارتباط هستند. در تحقیقات قبلی نشان داده شده که حتی

۱. مقدمه

لیزر های ید-اکسیژن اعم از نوع الکتریکی و شیمیایی دارای طول موجی هستند که در مقایسه با طول موج لیزر های گاز کربنیک از عمق نفوذ بیشتری در اتمسفر برخوردار هستند. لیزر های شیمیایی با عملکرد در رژیم پیوسته، به عنوان لیزر قدرت مورد استفاده قرار می گیرند. بازه های طیفی مورد نظر در پدافند غیرعامل دارای نوار های مهم در فراآسیون نزدیک، و میانی است که شامل لیزر های اصلی شیمیایی نیز می شود. از این رو، نقش و مقابله با لیزر های مزبور در پدافند غیرعامل مهم است. از سوی دیگر، با توجه به این که وارونی جمعیت در اتم ید ($I(^2P_{3/2}) \rightarrow I(^2P_{1/2})$) لیزر شیمیایی ید-اکسیژن به وسیله انتقال انرژی تشدیدی عرضی نزدیک از مولکول شبه پایدار اکسیژن برانگیخته ($O_2(^1\Delta)$ و گذار الکترونیکی (با طول موج ۱۳۱۵ نانومتر) ید در سیستم های لیزری ید-اکسیژن به وجود می آید، توسعه چشم های تولید مولکول اکسیژن یکتا ($O_2(^1\Delta)$ بر اساس سیستم های تخلیه الکتریکی، هزینه های عملیاتی، اندازه و وزن این نوع لیزرها را کاهش داده و اینمی در عملیات را افزایش می دهد که از جمله پارامترهای مورد نظر در کاربردهای مطرح در پدافند غیرعامل می باشد. دلیل این امر این است که در لیزر های اکسیژن - ید این الکتریکی (DOIL) بر خلاف لیزر های ید-اکسیژن شیمیایی کلاسیک (COIL) با ترکیبات شیمیایی مایع، خورنده و سمی مثل Cl_2 و F_2 و ... مواجه نیستیم. توسعه این نوع لیزرها (DOIL) از سال ۲۰۰۳ میلادی به بعد شروع شده است [1]. افرادی مانند زالسکی (Zaleskii) و فورنیر (Fournier) تلاش های زیادی جهت دستیابی به تولید اکسیژن مولکولی یکتا و انتقال انرژی این مولکولی شبه پایدار به مولکول ید در لیزر های ید-اکسیژن الکتریکی انجام دادند، اما نتوانستند به بهره مثبت در این سیستم دست یابند [2]. هر چند که پس از این افراد گروه های زیادی جهت به دست آوردن بهره مثبت در این نوع لیزر تلاش کردند، اما فقط توانستند حداکثر به بازده ۱۵ درصدی از مولکول اکسیژن با استفاده از تخلیه الکتریکی در دمای اتاق برسند [4] و [5]. سرانجام کارول (Carroll) و همکارانش به بهره مثبت دست یافتند و عملکرد لیزری مثبت در این نوع لیزر را گزارش کردند [6].

در سیستم DOIL با اعمال عمل تخلیه الکتریکی به وسیله امواج

$$\frac{\partial}{\partial t}(\rho Y_i) + \nabla \cdot (\rho \vec{v} Y_i) = -\nabla \cdot \vec{J}_i + R_i + S_i \quad (2)$$

که در آن، R_i نرخ متوسط تولید گونه i در واکنش شیمیایی و S_i نرخ تولید از فاز پاشیده بعلاوه چشممه تابع تعريف شده می‌باشد. Y_i کسر جرمی هرگونه، \vec{J}_i شار پخش شده گونه i ، ρ چگالی مخلوط و \vec{v} بردار سرعت فاز گازی است. پایستگی تکانه در چارچوب مرجع دستگاه لخت، از رابطه زیر تعیيت می‌کند:

$$\frac{\partial}{\partial t}(\rho \vec{v}) + \nabla \cdot (\rho \vec{v} \vec{v}) = -\nabla p + \nabla \cdot (\bar{\tau}) + \rho \vec{g} + \vec{F} \quad (3)$$

که p فشار استاتیکی، $\bar{\tau}$ تانسور کشش، $\rho \vec{g}$ و \vec{F} به ترتیب نیروی گرانش و نیروی حجمی خارجی می‌باشند. پایستگی انرژی بر اساس معادله زیر بیان شده است:

$$\frac{\partial}{\partial t}(\rho E) + \nabla \cdot (\vec{v}(\rho E + n)) = -\nabla \cdot \left(\sum_i h_i \vec{J}_i \right) + S_h \quad (4)$$

که در آن، E انرژی کل، S_h شامل گرمای واکنش شیمیایی سایر چشممه‌های گرمایی حجمی، h_i آنتالپی گونه i و \vec{J}_i شار پخشی گونه i می‌باشد. چشممه متوسط تولید گونه‌های شیمیایی i در اثر واکنش‌ها به صورت جمع چشممه‌های تولیدی واکنش‌های آرنیوسی حاصل از تعداد N_R واکنش محاسبه می‌شود که مقدار تولید شده از این گونه‌ها از رابطه زیر به دست می‌آید:

$$R_i = M_{\omega,i} \sum_{r=1}^{N_R} \bar{R}_{i,r} \quad (5)$$

که $M_{\omega,i}$ وزن مولکولی گونه‌های i و $\bar{R}_{i,r}$ نرخ مولی تولید یا مصرف گونه i در واکنش r می‌باشد. برای یک واکنش برگشت ناپذیر نرخ مولی تولید یا مصرف گونه i در واکنش r ($\bar{R}_{j,r}$) به صورت رابطه زیر داده می‌شود:

کسر (درصد) مولی کوچکی از اتم‌های اکسیژن (یعنی اتم‌های اکسیژنی) که به دلیل کافی نبودن غلظت NO_2 به طور کامل O_2 را حذف نشده‌اند) به طور مؤثر اکسیژن مولکولی یکتا ($(\text{O}_2)^1\Delta$) را حذف کردند که این امر به فرونشانی اتم‌های ید برانگیخته منجر می‌شود و تا رفع این مشکل، امکان حصول نتیجه از سیستم میسر نخواهد شد. عدم لیز دادن به رفع کامل این مشکل، منجر می‌شود [1].

از این‌رو، روش‌های کنترل و دفع اتم‌های اکسیژن پس از ناحیه تخلیه و شبیه‌سازی فرآیندهای مرتبط با مخلوط شارش گازها و سینتیک‌های شیمیایی نقش کلیدی برای عملکرد لیزری در لیزرهای ید-اکسیژن الکتریکی دارند.

در این تحقیق، دینامیک مخلوط پس از تخلیه و واکنش‌های شیمیایی مرتبط با گونه‌های $(\text{O}_2, \text{He}, \text{O}, \text{O}_2)^1\Delta$ به منظور حذف اکسیژن اتمی با استفاده از نرم‌افزار فلوئنت بررسی شده و نتایج مثبت آن بر کاهش غلظت اکسیژن اتمی در اثر تزریق ترکیب He/NO_2 به ناحیه پس از تخلیه مشاهده گردید.

2. شبیه‌سازی سه بعدی فرآیندهای پس از ناحیه تخلیه و تحلیل

سینتیک‌های شیمیایی و فرآیندهای انتقال مخلوط‌های واکنش‌پذیر حاصل از گونه‌های شارشی $\text{O}_2/\text{He}/\text{NO}_2$ پس از ناحیه تخلیه الکتریکی با استفاده از نرم‌افزار فلوئنت محاسبه شده است. این محاسبه در ناحیه مادون صوت در موقعیتی روی محور که دقیقاً از سرچشممه جریان از حلقه تزریق NO_2 شروع و تا فاصله تقریبی 40 سانتی‌متر از این حلقه تزریق ادامه می‌یابد، انجام گرفت. شبیه‌سازی مربوط به قسمت پس از ناحیه تخلیه با امواج رادیو فرکانسی و قبل از تزریق ید-که شماتیک کلی آن در شکل (1) نشان داده شده است-می‌باشد.

نرخ شارش اتم اکسیژن در مخلوط گونه‌های پس از ناحیه تخلیه یک پارامتر متغیر می‌باشد. دمای اولیه گاز حدود 300 کلوین در نظر گرفته شده است. در محاسبات شبیه‌سازی سه بعدی با استفاده از کد فلوئنت، معادلات پایستگی جرم، تکانه، انرژی و غلظت گونه‌ها به علاوه شرایط مرزی و معادلات حرارتی سیستم به صورت عددی در مختصات دکارتی با یک شبکه‌بندی تقریباً 125000 سلولی (مش) حل شده است. معادله پیوستگی براساس رابطه کلی زیر داده شده است:

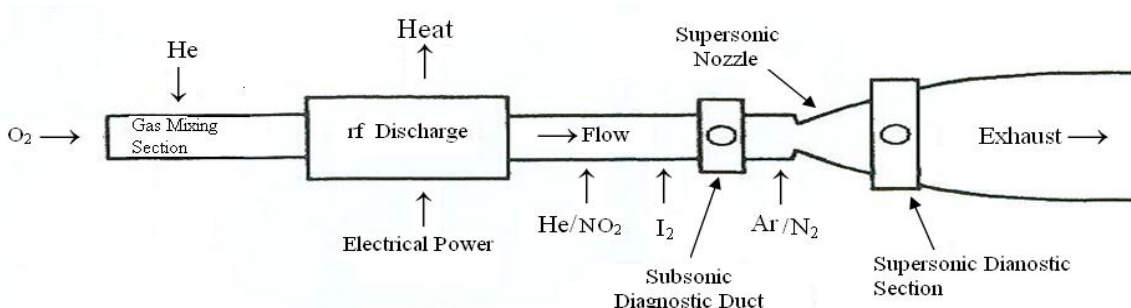
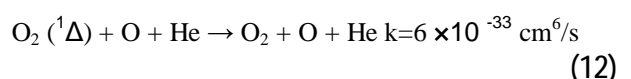
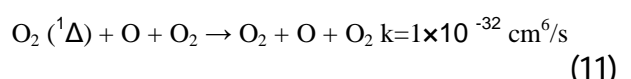
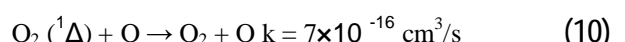
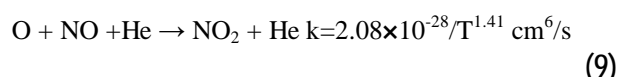
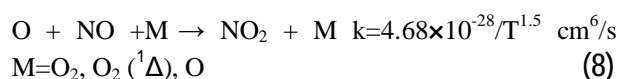
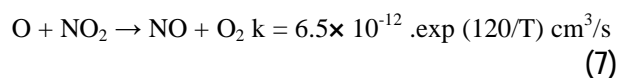
با توجه به واکنش ها، نقش NO_2 در کاهش اتم اکسیژن کاملاً واضح است؛ طوری که سه واکنش نخست، عمل کاهش اکسیژن اتمی را به خوبی نشان می دهد. تزریق گاز He/NO_2 از دو روزنه متقابن در راستای محور y محفظه (تیوب) پس از ناحیه تخلیه انجام می شود.

محل تزریق He/NO_2 در کانتور توزیع کسر مولی اکسیژن اتمی در شکل (2) نشان داده شده است. کسر مولی گونه های خروجی ناحیه تخلیه شامل $0/6$ میلی مول بر ثانیه اکسیژن یکتا، $2/1$ میلی اتمی، $0/6$ میلی مول بر ثانیه مولکول اکسیژن یکتا، 16 میلی مول بر ثانیه گاز هلیوم مول بر ثانیه اکسیژن مولکولی، $0/25$ میلی مول بر ثانیه از طریق روزنه ها شامل $2/1$ میلی مول بر ثانیه از دی اکسید نیتروژن و $0/6$ میلی مول بر ثانیه هلیوم می باشد. شکل (3) غلظت مولی اتم های اکسیژن در صفحه ای در راستای محور z را نشان می دهد.

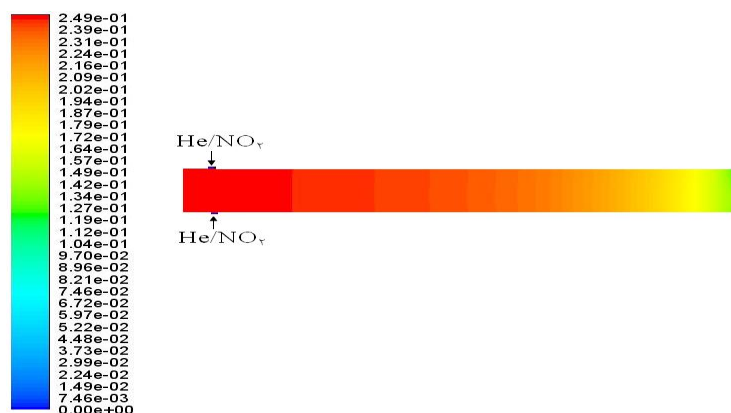
توزيع میدان های سرعت شارش با مقطعه های سهمی برای کسر مولی اکسیژن یکتا در شکل (4) نشان داده شده است. شکل (5) و (6) نمودارهای کسر مولی اکسیژن اتمی را در طول تیوب به ترتیب قبل و بعد از تزریق NO_2 نشان می دهد. نمودار شکل (7) درصد کاهش کسر مولی اکسیژن اتمی را بر حسب سرعت های مختلف تزریق He/NO_2 بیان می کند.

$$\widehat{R}_{i,r} = \Gamma(v_{i,r}'' - v_{i,r}') \left(k_{f,r} \prod_{j=1}^N [C_{j,r}]^{(\eta'_{j,r} + \eta''_{j,r})} \right) \quad (6)$$

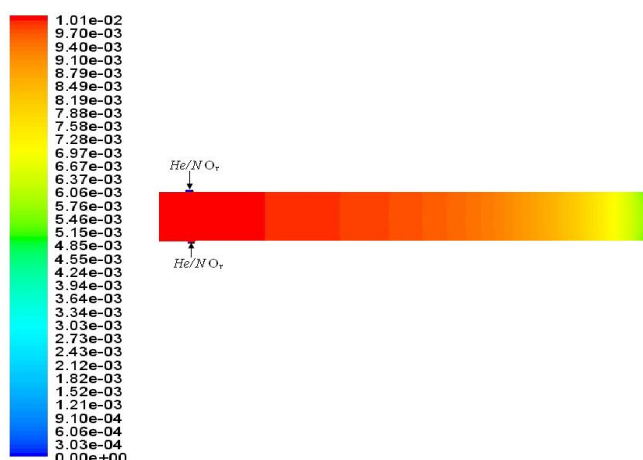
که $C_{j,r}$ غلظت مولی گونه های ز در واکنش $v_{i,r}'$ توان (نما) نرخ برای گونه های واکنش دهنده ز در واکنش $v_{i,r}''$ توان $v_{i,r}''$ ضریب استوکیومتری برای واکنش دهنده α در واکنش $v_{i,r}$ و ضریب استوکیومتری برای محصول α در واکنش $v_{i,r}$ می باشند. مکانیزم واکنش های شیمیایی و سینتیک حاکم بر گونه ها در خروجی ناحیه تخلیه به صورت زیر می باشند [10].



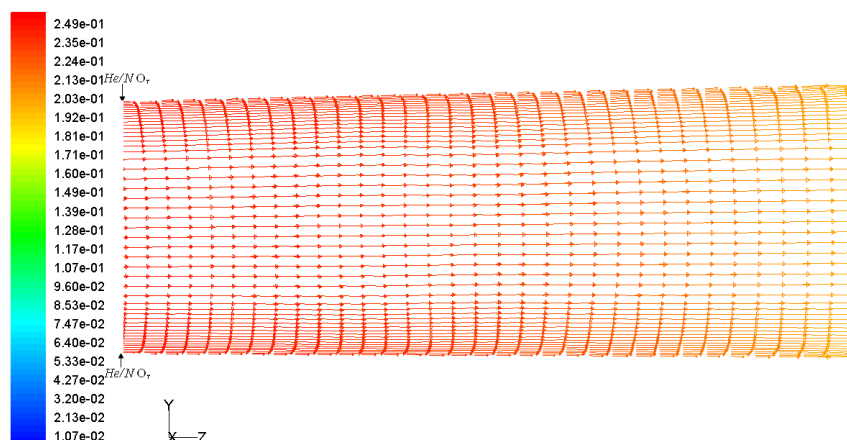
شکل 1. شمای کلی از لیزر اکسیژن-یداین با تخلیه الکتریکی [1]



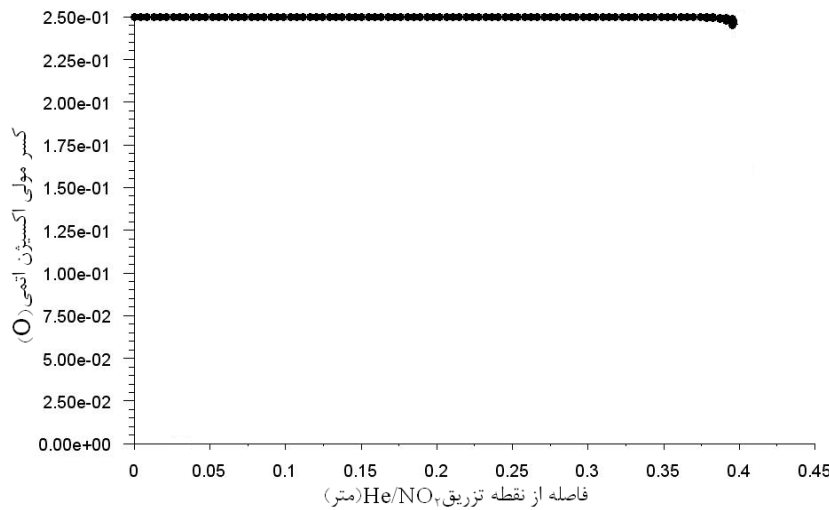
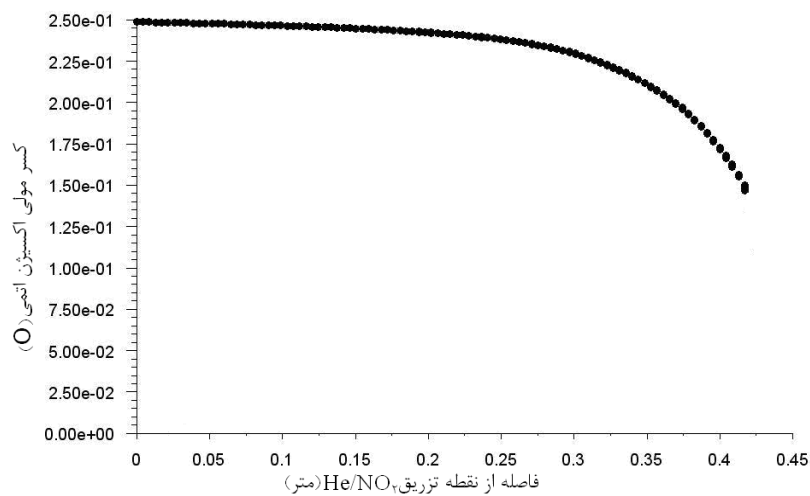
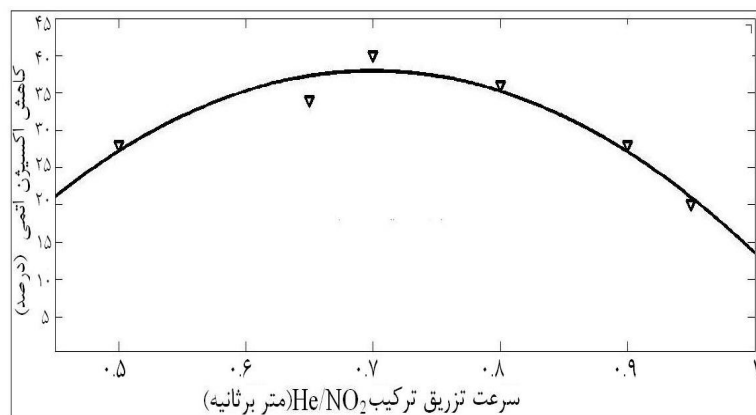
شکل 2. کانتور توزیع کسر مولی اکسیژن اتمی در طول محفظه (تیوب) پس از تزریق He/NO_2



شکل 3. غلظت مولی اتم‌های اکسیژن در طول محفظه پس از تزریق He/NO_2 (بر حسب kmol/m^3)



شکل 4. توزیع میدان‌های سرعت شارش با مقطع‌های سهموی برای کسر مولی اکسیژن یکتا در طول محفظه پس از تزریق He/NO_2

شکل ۵. نمودار کسر مولی اکسیژن اتمی در طول محفظه قبل از تزریق He/NO₂شکل ۶. نمودار کسر مولی اکسیژن اتمی در طول محفظه پس از تزریق He/NO₂شکل ۷. نمودار درصد کاهش کسر مولی اکسیژن اتمی در طول محفظه بر حسب سرعت تزریق ترکیب He/NO₂

بهبود راندمان لیزر ید-اکسیژن الکتریکی دارد. شبیه‌سازی فرآیندهای پس از تخلیه الکتریکی، به وسیله امواج رادیو فرکانسی (تزریق He/NO_2 ، مخلوط شارش، انتقال جرم و گرما، سینتیک شیمیایی) نشان می‌دهد که تزریق NO_2 با یک شیب تندر به کاهش اتم‌های اکسیژن در قسمت پایین دست شارش ناحیه تزریق He/NO_2 منجر می‌شود.

5. نتیجه‌گیری

مولکول اکسیژن یکتا اصلی ترین گونه در لیزرهای ید-اکسیژن است. بنابراین، هرچه مقدار مولکول اکسیژن یکتا بیشتر باشد، عملکرد و بهره لیزر بیشتر می‌باشد. علاوه بر مولکول اکسیژن یکتا، گونه‌ای دیگر که از عمل تخلیه الکتریکی روی مولکول اکسیژن O_2 تولید می‌شود، اکسیژن اتمی (O) می‌باشد. اکسیژن اتمی با مولکول اکسیژن یکتا واکنش داده و این مولکول‌ها را حذف می‌کند و دستیابی به بهره مثبت را غیرممکن می‌سازد. افزایش ترکیب He/NO_2 به گونه‌های حاصل از ناحیه تخلیه این مشکل را از بین می‌برد که در این تحقیق، نقش مهم این ترکیب به عنوان عامل حذف‌کننده اکسیژن اتمی (O) و تقویت‌کننده مولکول‌های اکسیژن یکتا بیان شده است.

6. مراجع

- [1] Rakhimova, T. V.; Palov, A. P.; Mankelevich, Yu. a.; Popov, N. A.; Carroll, D. L. " XVI International Symposium on Gas Flow, Chemical Lasers, and High Power Lasers."; Proceeding of SPIE, 2007, 6346, 22.
- [2] Zalesskii, V. Yu.; Eksp. Zh. Teor. Fiz. "A Discharge Laser Operating on the Iodine 1315-nm Transition."; Sov. Phys. JETP 1975, 40(1), 14.
- [3] Fournier, G.; Bonnet, J.; Pigache, D. J. "A Potential Atomic Iodine Laser Pumped by Electrically Generated Singlet Oxygen."; Physique 1981, 41(Colloque C9), 449.
- [4] Carroll, D. L.; Verdeyen, J. T.; King, D. M.; Woodard, B. S.; Skorski, L. W.; Zimmerman, J. W.; Solomon, W. C. "Recent Experimental Measurements of the Electric COIL System. Presented at 34th AIAA Plasma Dynamics and Laser Conference."; Orlando, FL, 2003; AIAA Paper 2003.
- [5] Ionin, A. A.; Kochetov, I. V.; Napartovich, A. P.; Yuryshev, N. N. "Physics and Engineering of Singlet Delta Oxygen Production in Low Temperature Plasma."; J. Phys. D: Appl. Phys. 2007, 40, R25.
- [6] Carroll, D. L.; Verdeyen, J. T.; King, D. M.; Zimmerman, J. W.; Laystrom, J. K.; Woodard, B. S.; Richardson, N.; Kittell, k.; Kushner, M. J.; Solomon, W. C. "Measurement of Positive Gain on the 1315 nm Transition of Atomic Iodine Pumped by O_2 (1Δ) Produced in an Electric Discharge."; Appl. Phys. Lett. 2004, 85(8), 1320-1332.

4. نتایج و بحث

وجود کسر مولی خیلی کم از اکسیژن اتمی، در حذف مولکول‌های برانگیخته اکسیژن یکتا و جلوگیری از عملکرد لیزری در لیزرهای ید-اکسیژن الکتریکی نقش مهمی دارد. این‌رو، کاهش غلظت آن به حداقل مقدار ممکن ضروری است. در نمودار شکل (6) نقش اضافه کردن ترکیب He/NO_2 مشاهده می‌شود. هم‌چنان که از شکل پیداست، با فاصله گرفتن از نقطه تزریق، کسر مولی اکسیژن اتمی به طور محسوسی کاهش می‌یابد. هم‌چنین، این کاهش غلظت و کسر مولی اکسیژن اتمی در طول محفظه (تیوب)، در اثر اضافه کردن ترکیبات He/NO_2 در کانتورهای کسر مولی اکسیژن اتمی در شکل (2) و غلظت اکسیژن اتمی در شکل (3) به‌وضوح مشخص است. در شکل (4) کاهش کسر مولی اکسیژن اتمی در شکل (3) به‌وضوح مشخص است. در شکل (4) که توزیع میدان‌های سرعت شارش با مقطع‌های سهموی مطابق با کسر مولی مولکول اکسیژن یکتا را پس از تزریق He/NO_2 نشان می‌دهد، کاهش کسر مولی مولکول اکسیژن یکتا در طول محفظه (تیوب) خیلی کم است که هدف، دستیابی به این شرایط می‌باشد. نمودار شکل (7) درصد کاهش کسر مولی اکسیژن اتمی را بر حسب سرعت شارش ترکیب He/NO_2 بیان می‌کند. این نمودار نشان‌گر این امر می‌باشد که برای تزریق به‌گونه‌ای وجود دارد، به‌گونه‌ای که با سرعت‌های کمتر یا بیشتر از آن، تغییرات کاهش کسر مولی اکسیژن اتمی کم می‌شود. بر طبق این نمودار، سرعت بهینه $0/7 \text{ m/s}$ می‌باشد. می‌توان این گونه تحلیل کرد که در سرعت‌های کمتر از این مقدار، بخشی از اکسیژن اتمی قبل از رسیدن ترکیب تزریقی، از محل تزریق عبور می‌نماید، و در سرعت‌های بیش از سرعت بهینه، گونه‌های تزریقی احتمال خروج از محفظه را از طریق روزنۀ مقابل به دست می‌آورند. بنابراین، این سرعت بیشترین کاهش را در غلظت اکسیژن اتمی ایجاد کرده است. نمودار شکل (6) براساس این سرعت بهینه رسم شده و بیشترین کاهش در اکسیژن اتمی را نشان می‌دهد. نمودار شکل (5) بیانگر کسر مولی اکسیژن اتمی در شرایطی که تزریق کسر مولی اکسیژن اتمی خیلی کم بوده و به‌وضوح قابل مشاهده نیست. پس روش‌های دفع اتم‌های اکسیژن در خروجی ناحیه تخلیه و شبیه‌سازی فرآیندهای مرتبه با شارش گاز مخلوط و سینتیک‌های شیمیایی مربوطه، نقش مهمی در

- [7] King, D. M.; Carroll, D. L.; Verdeyen, J. T.; Laystrom, J. K.; Benavides, G. F.; Palla, A. D.; Zimmerman, J. W.; Woodard, B. S.; Solomon, W. C. "Power Enhancement of the Hybrid Electric OIL System."; AIAA Paper, 2006, 3756.
- [8] Palla, A. D.; Zimmerman, J. W.; Woodard, D. L.; Carroll, D. L.; Verdeyen, J. T.; Lim, T. C.; Solomon, W. C.; 2007 American Chemical Society, Page EST: 8.7.
- [9] Rakhimova, T. V.; Kovalev, A. S.; Kolopovsky, K. S.; Lopaev, D. L.; Mankelevich, Yu. A.; Vasilieva, A. N.; Braginsky, O. V.; Popov, N. A.; Porshina, O. V.; Rakhimova, A. T. "Singlet Oxygen Generator at High Oxygen Pressure."; AIAA 37th Plasma Dynamics and Lasers Conf; San Francisco, Paper NO. 3762(2006).
- [10] Braginskiy, O. V.; Vasilieva, A. N.; Klopovskiy, K. S.; Kovalev, A. S.; Lopaev, D. V.; Proshina, O. V.; Rakhimova, T. V.; Rakhimova, A. T. "Singlet Oxygen Generation in O₂ Flow Excited by RF Discharge: I. Homogeneous Discharge Mode: α -mode."; J. Phys. D: Appl. Phys. 2005, 38, 3609-3625.
- [11] Braginskiy, O. V.; Vasilieva, A. N.; Kovalev, A. S.; Lopaev, D. V.; Mankelevich, Yu. A.; Rakhimova, T. V.; Rakhimova, A. T. "Singlet Oxygen Generation in O₂ Flow Excited by RF Discharge: II. Inhomogeneous Discharge Mode: Plasma Jet."; J. Phys. D: Appl. Phys. 2005, 38, 3626-3634.
- [12] Carroll, D. L.; Verdeyen, J. T.; King, D. M. "Recent Work on the Develop of an Electric Discharge Oxygen Iodine laser."; <http://Cuaerospace.com>; CU Aerospace, 2004S.